

ВЫЧИСЛИТЕЛЬНЫЙ ЭКСПЕРИМЕНТ В НЕИЗОТЕРМИЧЕСКОЙ ФИЛЬТРАЦИИ ГАЗА

Э. А. БОНДАРЕВ, В. Е. НИКОЛАЕВ, К. К. АРГУНОВА
Институт проблем нефти и газа СО РАН, Якутск, Россия
e-mail: bondarev@iptpn.ysn.ru

При разработке газоконденсатных месторождений часто оказывается, что наиболее ценным продуктом является не сам природный газ, а содержащийся в нем конденсат, то есть смесь жидких углеводородов, содержащих большое количество ароматических веществ, необходимых для производства очень многих химических продуктов. В пластовых условиях при высоких давлениях и температурах конденсат полностью растворен в газе, однако, из-за особенностей термодинамического поведения этой смеси при отборе газа, которые приводят к снижению давления и температуры, конденсат начинает выделяться в жидкую фазу в самом пласте. В результате происходит безвозвратная потеря ценного продукта. Чтобы этого не произошло, используется так называемый сайклинг – процесс. Он заключается в том, что после извлечения смеси и выделения из нее жидкой фракции так называемый сухой газ возвращается в пласт для поддержания пластового давления на уровне, превышающем точку начала конденсации.

Для математического описания процесса нагнетания газа в теплоизолированный пласт через одиночную скважину воспользуемся полной системой уравнений, описывающей плоскорадиальную неизотермическую фильтрацию идеального газа [1]:

$$\begin{aligned} \left(1 - \frac{p}{T}\right) \frac{\partial p}{\partial t} &= \frac{1}{r} \frac{\partial}{\partial r} \left(r p \frac{\partial p}{\partial r} \right) - \left(1 - \frac{c_p p}{R T}\right) \frac{p}{T} \frac{\partial T}{\partial r} \frac{\partial p}{\partial r} + \delta \frac{p}{T} \nabla^2 T, \\ \left(1 - \frac{p}{T}\right) \frac{\partial T}{\partial t} &= \frac{1}{r} \frac{\partial}{\partial r} \left(r p \frac{\partial p}{\partial r} \right) - \left(1 - \frac{c_p p}{R T}\right) \frac{p}{T} \frac{\partial T}{\partial r} \frac{\partial p}{\partial r} + \delta \nabla^2 T, \end{aligned} \quad (1)$$

$$1 < r < R_k, \quad 0 < t \leq \bar{t}_0.$$

где $\bar{T} = \frac{c_r T}{m p_0}$, $\bar{p} = \frac{p}{p_0}$, $\bar{r} = \frac{r}{r_w}$, $\delta = \frac{K}{K_p}$, $\kappa_p = \frac{k p_0}{m \mu}$, $\bar{t} = \frac{K_p t}{r_w^2}$, m – пористость, k – коэффициент проницаемости пласта, R – газовая постоянная, r – радиальная координата, t – время, p – давление, T – температура, c_p , μ – удельная теплоемкость и динамическая вязкость газа, K , K_p , c_r – температуропроводность, пьезопроводность и объемная теплоемкость насыщенного газом пласта, соответственно; индексы: 0 – начальное состояние, w – на стенке скважины. Здесь и в дальнейшем черта над безразмерными переменными для удобства опускается.

При нагнетании газа, в отличие от его отбора граничные условия на скважине могут быть заданы произвольно. Таким образом, на внутренней границе пласта возможно задание либо 1) постоянного расхода газа

$$-\frac{p}{T} \frac{\partial p}{\partial r} = A, \quad r = 1, \quad (2)$$

где $A = \frac{m \mu R M}{2 \pi k h p_0 c_r}$, M – массовый расход газа, h – мощность газоносного пласта; либо 2) постоянного забойного давления

$$p = p_w, \quad r = 1. \quad (3)$$

Каждое из этих условий дополняется условием постоянства температуры нагнетаемого газа:

$$T = T_b, \quad r = 1. \quad (4)$$

На внешней границе задаются условия непроницаемости пласта для фильтрующегося газа и тепловой изоляции:

$$\frac{\partial p}{\partial r} = 0, \quad \frac{\partial T}{\partial r} = 0, \quad r = R_k. \quad (5)$$

В начальный момент времени давление и температура считаются постоянными

$$p(r,0) = 1, \quad T(r,0) = T_0, \quad 1 \leq r \leq R_k. \quad (6)$$

Для решения начально-краевой задачи (1) – (6) аппроксимируем уравнения системы (1) чисто неявной абсолютно устойчивой разностной схемой, полученной при помощи метода баланса:

$$\begin{aligned} \rho_i^s \frac{y_i^{j+1} - y_i^j}{\tau} &= k_{i+1}^s \frac{y_{i+1}^{j+1} - y_i^{j+1}}{h^2} - k_i^s \frac{y_i^{j+1} - y_{i-1}^{j+1}}{h^2} - m_i^s \frac{y_{i+1}^{j+1} - y_{i-1}^{j+1}}{2h} + f_i^s, \\ c_i^s \frac{u_i^{j+1} - u_i^j}{\tau} &= a_{i+1}^s \frac{u_{i+1}^{j+1} - u_i^{j+1}}{h^2} - a_i^s \frac{u_i^{j+1} - u_{i-1}^{j+1}}{h^2} - b_i^s \frac{u_{i+1}^{j+1} - u_{i-1}^{j+1}}{2h} + g_i^s, \end{aligned} \quad (7)$$

$$i = \overline{1, n-1}; \quad j = \overline{0, j_0-1}.$$

Чтобы получить разностную схему для внутренней границы при постоянном расходе газа, второе уравнение системы (1) умножаем на p/T и вычитаем из первого. Тогда имеем

$$\frac{\partial p}{\partial t} - \frac{p}{T} \frac{\partial T}{\partial t} = \frac{1}{r} \frac{\partial}{\partial r} \left(r p \frac{\partial p}{\partial r} \right) - \frac{p}{T} \frac{\partial T}{\partial r} \frac{\partial p}{\partial r}.$$

Интегрируя данное уравнение в элементарной ячейке, получим, что для постоянного расхода газа разностный аналог граничного условия (2) имеет вид:

$$\begin{aligned} \frac{y_0^{j+1} - y_0^j}{\tau} \frac{h}{2} &= k_1^s \frac{y_1^{j+1} - y_0^{j+1}}{h} + A u_0^{s,j+1} - m_0^s \frac{y_1^{j+1} - y_0^{j+1}}{h} \frac{h}{2} + f_0^s \frac{h}{2}, \\ j &= \overline{0, j_0-1}, \end{aligned} \quad (8)$$

а для постоянного давления

$$y_0^{j+1} = p_w, \quad j = \overline{0, j_0-1}. \quad (9)$$

Для температуры на забое скважины

$$u_0^{j+1} = T_b, \quad j = \overline{0, j_0-1}. \quad (10)$$

Разностная аппроксимация условий на внешней границе имеет вид

$$\begin{aligned} \rho_n^s \frac{y_n^{j+1} - y_n^j}{\tau} \frac{h}{2} &= -k_n^s \frac{y_n^{j+1} - y_{n-1}^{j+1}}{h} - m_n^s \frac{y_n^{j+1} - y_{n-1}^{j+1}}{h} \frac{h}{2} - a_n^s \frac{u_n^{j+1} - u_{n-1}^{j+1}}{h}, \\ c_n^s \frac{u_n^{j+1} - u_n^j}{\tau} \frac{h}{2} &= -a_n^s \frac{u_n^{j+1} - u_{n-1}^{j+1}}{h} - b_n^s \frac{u_n^{j+1} - u_{n-1}^{j+1}}{h} \frac{h}{2} - k_n^s \frac{y_n^{j+1} - y_{n-1}^{j+1}}{h}, \end{aligned} \quad (11)$$

$$j = \overline{0, j_0-1}.$$

Начальные условия аппроксимируем в виде

$$y_i^0 = 1, \quad u_i^0 = T_0, \quad i = \overline{0, n}. \quad (12)$$

В этих соотношениях

$$\begin{aligned} \rho_i^s &= r_i \left(1 - \frac{y_i^{s,j+1}}{u_i^{s,j+1}} \right), \quad k_i^s = r_{i-1/2}^{s,j+1} y_{i-1/2}^{s,j+1}, \quad r_{i-1/2}^s = \frac{r_{i-1} + r_i}{2}, \quad y_{i-1/2}^{s,j+1} = \frac{y_{i-1}^{s,j+1} + y_i^{s,j+1}}{2}, \\ m_i^s &= r_i \left(1 - \frac{c_p}{R} \frac{y_i^{s,j+1}}{u_i^{s,j+1}} \right) \frac{y_i^{s,j+1} u_{i+1}^{s,j+1} - u_{i-1}^{s,j+1}}{2h}, \quad m_0^s = \left(1 - \frac{c_p}{R} \frac{y_0^{s,j+1}}{u_0^{s,j+1}} \right) \frac{y_0^{s,j+1} u_1^{s,j+1} - u_0^{s,j+1}}{h}, \\ a_i^s &= \delta r_{i-1/2}^s, \quad c_i^s = r_i \left(1 - \frac{y_i^{s+1,j+1}}{u_i^{s,j+1}} \right), \quad b_i^s = r_i \left(1 - \frac{c_p}{R} \right) \frac{y_i^{s+1,j+1} y_{i+1}^{s+1,j+1} - y_{i-1}^{s+1,j+1}}{u_i^{s,j+1} 2h}, \end{aligned}$$

$$f_i^s = \delta \frac{y_i^{s,j+1}}{u_i^{s,j+1}} \left(r_{i+1/2}^{s,j+1} \frac{u_{i+1}^{s,j+1} - u_i^{s,j+1}}{h^2} - r_{i-1/2}^{s,j+1} \frac{u_i^{s,j+1} - u_{i-1}^{s,j+1}}{h^2} \right), f_0^s = \frac{y_i^{s,j} u_i^{s,j+1} - u_i^j}{\tau},$$

$$g_i^s = r_{i+1/2}^{s+1,j+1} \frac{y_{i+1}^{s+1,j+1} - y_i^{s+1,j+1}}{h^2} - r_{i-1/2}^{s+1,j+1} \frac{y_i^{s+1,j+1} - y_{i-1}^{s+1,j+1}}{h^2}.$$

Для численной реализации разностной задачи (7) – (12) воспользуемся методом простых итераций. Итерационный процесс организуем следующим образом:

а) задаем начальное приближение $y_i^{0,j+1} = y_i^j, u_i^{0,j+1} = u_i^j, i = \overline{0, n}$;

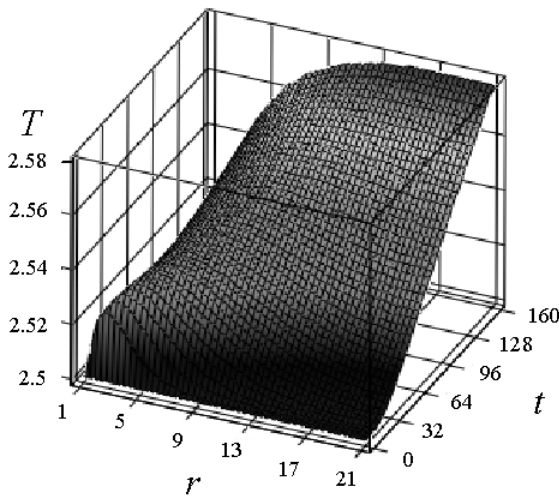


Рис. 1

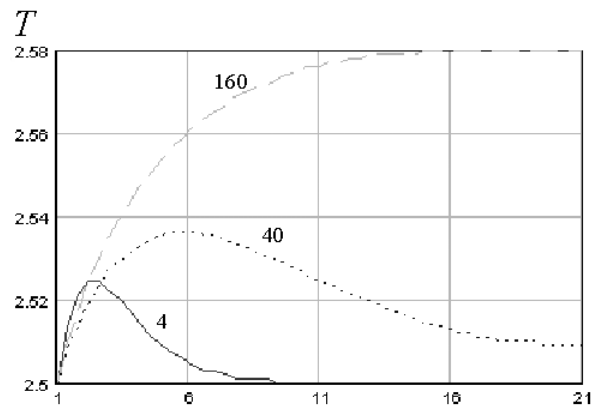


Рис. 3

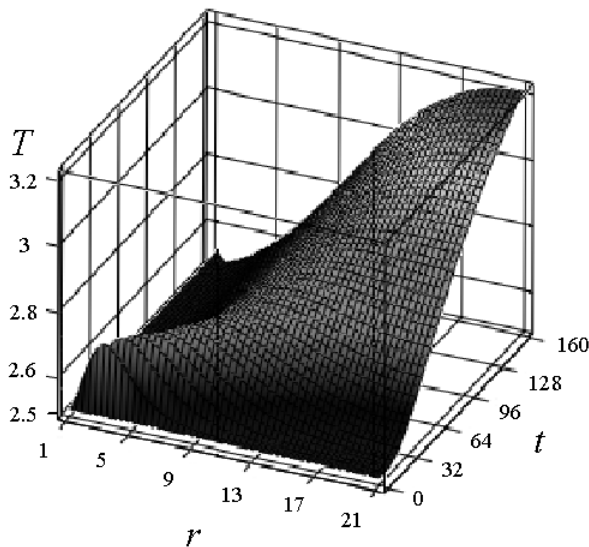


Рис. 2

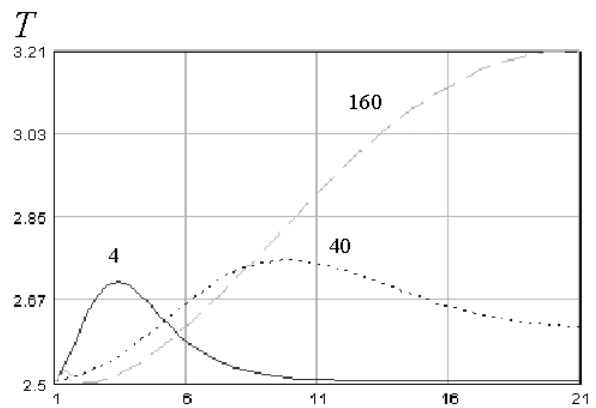


Рис. 4

б) методом прогонки решаем линейную систему уравнений относительно неизвестных $y_i^{s+1,j+1}, i = \overline{0, n}$:

$$-C_0^{s+1,j+1} y_0^{s+1,j+1} + B_0^{s+1,j+1} y_1^{s+1,j+1} = -F_0^{s+1,j+1} \text{ или } y_0^{s+1,j+1} = p_w,$$

$$A_i^{s+1,j+1} y_{i-1}^{s+1,j+1} - C_i^{s+1,j+1} y_i^{s+1,j+1} + B_i^{s+1,j+1} y_{i+1}^{s+1,j+1} = -F_i^{s+1,j+1}, i = \overline{1, n-1},$$

$$A_n y_{n-1}^{s+1j+1} - C_n y_n^{s+1j+1} = -F_n;$$

где

$$C_0 = \frac{\rho_0}{\tau} \frac{h}{2} + \frac{k_1}{h} - \frac{m_0}{2}, \quad B_0 = \frac{k_1}{h} - \frac{m_0}{2}, \quad F_0 = \frac{\rho_0}{\tau} \frac{h}{2} y_0^j - A u_0^{s+1j+1},$$

$$A_i = \frac{k_i}{h^2} + \frac{m_i}{2h}, \quad C_i = \frac{\rho_i}{\tau} + \frac{k_{i+1}}{h^2} + \frac{k_i}{h^2}, \quad B_i = \frac{k_{i+1}}{h^2}, \quad F_i = \frac{\rho_i}{\tau} y_i^j;$$

- в) таким же образом методом прогонки решаем разностные уравнения для температуры;
г) проверяем выполнения условий сходимости итераций

$$\max_{i=0,n} |y_i^{s+1j+1} - y_i^{s+1j}| < \varepsilon_1, \quad \max_{i=0,n} |u_i^{s+1j+1} - u_i^{s+1j}| < \varepsilon_2.$$

Если эти условия не выполняются, то s увеличиваем на единицу и возвращаемся к пункту б), а если выполняются, то переходим к следующему временному слою.

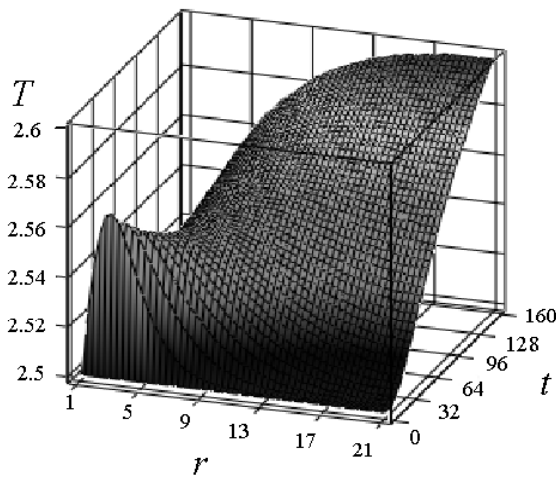


Рис. 5

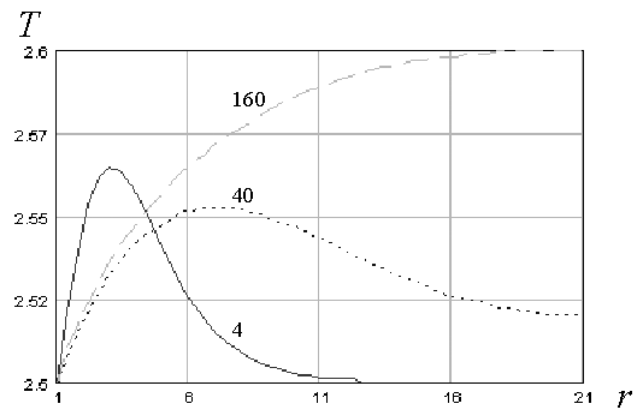


Рис. 7

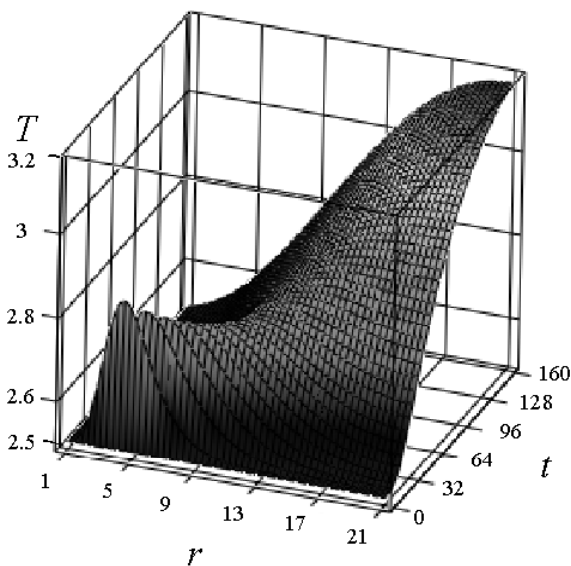


Рис. 6

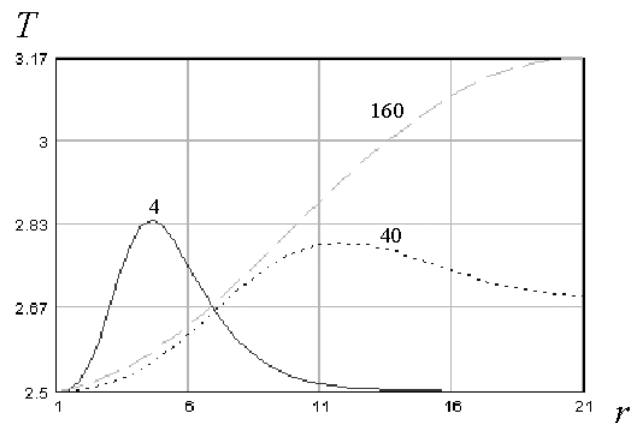


Рис. 8

В вычислительном эксперименте изучалось влияние режима нагнетания газа (массовый расход или давление нагнетания) на динамику изменения температуры в пласте. При этом принималось, что $T_b = T_0 = 2.5$, $R_k = 21$, $\delta = 0.4$, $c_p / R = 5$, то есть температура нагнетаемого газа была равна начальной

температуре пласта. Для режима закачки газа с постоянным массовым расходом параметр A принимал значения 0.03 или 0.3, а при закачке с постоянным давлением последнее выбиралось таким образом, чтобы обеспечить указанные значения параметра A . Результаты расчетов представлены на рис. 1 – 8. Первые четыре рисунка соответствуют режиму постоянного расхода газа (рис. 1 и рис. 3 для $A = 0.03$, рис. 2 и рис. 4 для $A = 0.3$), последние – постоянного забойного давления (рис. 5 и рис. 7 для $p_w = 1.234$, рис. 6 и рис. 8 для $p_w = 2.363$).

Проанализируем полученные результаты. Прежде всего, отметим, что в полном соответствии с физикой процесса во всех случаях наблюдается повышение температуры газа за счет адиабатического сжатия, при этом, как и следовало ожидать, интенсивность нагрева возрастает с ростом расхода (сравни рис. 1 и рис. 3 с рис. 2 и рис. 4 или рис. 5 и рис. 7 с рис. 6 и рис. 8). Другая интересная особенность этого процесса заключается в том, что при нагнетании газа с постоянным забойным давлением температура растет быстрее и на много большую величину, чем в режиме постоянного расхода (сравни рис. 1 – 4 с рис. 5 – 8). Это особенно хорошо заметно при сравнении кривых с цифрой 4 на рис. 3 и рис. 4 с такими же кривыми на рис. 7 и рис. 8. Очень интересной особенностью этих двух режимов является немонотонное изменение температуры газа в пласте, причем она наиболее ярко выражена для закачки газа при постоянном давлении нагнетания (сравни, например, рис. 2 с рис. 6 или рис. 4 с рис. 8). Важно отметить, что эта особенность проявляется в той части пласта, которая располагается ближе к нагнетательной скважине.

При внимательном рассмотрении рис. 5 – рис. 8 можно предположить, что при нагнетании газа в пористой среде образуется своеобразная тепловая волна, амплитуда которой либо возрастает со временем (режим постоянного расхода, рис. 3 и рис. 4), либо затухает (режим постоянного забойного давления, рис. 7 и рис. 8). Возрастание (затухание) амплитуды интенсифицируется с уменьшением расхода (давления нагнетания) газа.

Список литературы.

- [1] Бондарев Э. А., Васильев В. И., Воеводин А. Ф. и др. Термогидродинамика систем добычи и транспорта газа // Новосибирск: Наука, Сиб. отд – ние. 1988. 272 с.